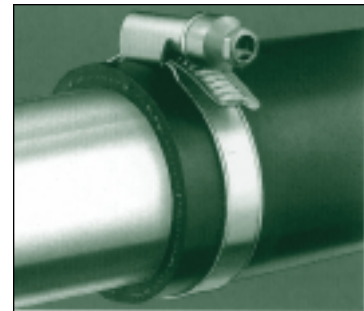




COLLIERS ACIER BANDE PLEINE

BPA 9 TORRO® W1 - Bande Pleine 9 mm			
Référence		Boîitage	Prix H.T. €/le cent
Type	Plage de serrage		
BPA 9 W1	8 - 12	100	
BPA 9 W1	10 - 16	100	
BPA 9 W1	12 - 22	100	
BPA 9 W1	16 - 27	100	
BPA 9 W1	20 - 32	100	
BPA 9 W1	25 - 40	100	
BPA 9 W1	30 - 45	100	
BPA 9 W1	35 - 50	50	
BPA 9 W1	40 - 60	50	
BPA 9 W1	50 - 70	50	
BPA 9 W1	60 - 80	25	
BPA 9 W1	70 - 90	25	
BPA 9 W1	80 - 100	25	
BPA 9 W1	90 - 110	25	



Acier zingué

INFORMATIONS TECHNIQUES :

Chaque vis tangente, réalisée par formage à froid, présente une forme légèrement convexe. La hauteur des filets s'abaisse aux deux extrémités ; seuls les filets du milieu sont entièrement formés.

Le couple s'exerçant lors du serrage de la vis et qui s'exprime par le produit de la force de réaction F par le rayon R de la vis tend à faire basculer l'axe de la vis d'un angle (α) par rapport à l'horizontale, c'est-à-dire que la tête de vis tend à s'incliner vers la bande. Pour éviter ce mouvement, la tête de vis du collier TORRO® a été équipée d'une couronne-support (fig. 2).

AVANTAGES :

- Le basculement de l'axe de la vis est évité. Les filets du milieu entièrement formés demeurent correctement engrenés.
- La composante radiale F_{R1} due à la pente (10° environ) des flancs des filets et dont l'effet est parasite, est maintenue la plus faible possible (fig. 3)

Aucune déformation de la cage et impossibilité de passage des filets de la vis au-dessus des crans de la crémaillère. Sans la présence de la couronne-support contre la tête de vis (fig. 1 et 4), il y aurait lors du basculement de l'axe de la vis action conjuguée de la pente des flancs (environ 10°) et de l'angle de déviation (α) de l'axe de la vis.

Il en résulterait une importante augmentation de la composante F_{R2} • $F_{R2} > F_{R1}$

Dans le cas normal, le couple de serrage engendre un mouvement de basculement de la cage dans le sens du couple. Il en résulte une augmentation de l'effort radial sur un bord et éventuellement l'endommagement ou la mise hors service du tuyau souple (fig. 5) $F_2 > F_1$

